

| REF | BOOK | Σ | SYSTEM |
|-------------|-------------|----------|--|
| 08819378190 | 08819378500 | 100 | cobas e 402 cobas e 801 |

Svenska**Systeminformation**

| | |
|----------|-----------------------------|
| Kortnamn | ACN (applikationskodnummer) |
| AMH | 10190 |

Användningsområde

Immunanalys för in vitro-kvantitativ bestämning av anti-Müllerskt hormon (AMH) i humanserum och plasma. Bestämning av AMH används vid bedömnning av äggstocksreserven och prediktion av respons på kontrollerad oväriestimulering (COS), tillsammans med andra kliniska observationer och laboratorieresultat.

elektrokemiluminiscensimmunanalysen "ECLIA" är avsedd för användning på immunanalysinstrumenten **cobas e**.

Sammanfattning

Det anti-Müllerska hormonet är ett homodimeriskt glykoprotein som hör till familjen hormonellt aktivt protein β (TGF β). Alla medlemmar av denna superfamilj är involverade i regleringen av vävnadstillsväxt och differentiering. Före utsöndring genomgår hormonet glykosylering och dimerisering för att producera ett förstadium på cirka 140 kDa med två identiska disulfidkopplade 70 kDa-subenheter. Varje monomer innehåller en stor N-terminal proregion och en avsevärt mindre aktiv C-terminal domän. Till skillnad från andra medlemmar i TGF β -familjen anses AMH kräva N-terminaldomänen för att potentiera aktivitet för C-terminaldomänen för att uppnå full bioaktivitet.^{1,2} En del av AMH klyvs därför vid ett specifikt ställe mellan proregionen och den aktiva regionen under den cytoplasmiska övergången för att generera biologiskt aktiva 110 kDa N-terminala och 25 kDa C-terminala homodimerer, vilka förblir associerade med ett icke-kovalent komplex. AMH type II-receptorn (AMH RII) har kapacitet att endast binda den biologiskt aktiva formen av AMH.²

Hos män utsöndras AMH genom Sertoli-cellerna i testiklarna. Under embryoutvecklingen bland män står utsöndringen av AMH från Sertoli-cellerna för regressionen av de Müllerska gångarna och normal utveckling av reproduktionsvägarna hos män. Utsöndringen av AMH genom Sertoli-cellerna startar under embryogenesen och pågår livet ut. AMH produceras oavbrutet av testiklarna fram till puberteten och minskar därefter långsamt till postpubertala värden.³

Hos kvinnor spelar AMH en viktig roll vid ovariets follikelgenes.⁴ Follikelutveckling i ovarierna består av två olika stadier: initial rekrytering, genom vilken primordiala folliklar börjar bli aktiva, samt cyklisk rekrytering, vilket leder till tillväxt av en cohört med små antrala folliklar, där den dominanta follikeln (förutbestämd för ägglossning) därför väljs. FSH (follikelstimulerande hormon) styr den cykliska rekryteringen. AMH-expression i granulosaceller börjar i de primära folliklerna och är maximal i granulosaceller i preantrala och små antrala follikler upp till cirka 6 mm i diameter. När follikeltillväxt blir FSH-beroende minskar AMH-expressionen och blir svårupptäckta. Detta mönster för AMH-expression stöder hämningsrollen för AMH vid två olika stadier av follikelgenes. Först hämmar AMH övergången för folliklar från primordiala till mognadsstadier och har därigenom en viktig roll vid reglering av antalet folliklar som återstår i den primordiala poolen. Därefter har AMH hämningseffekt på follikelsensitivitet mot FSH och har därmed en roll vid processen med follikulärt urval.^{5,6}

Serumnivåer för AMH är knappt påvisbara vid födseln hos barn av kvinnokön, uppnår sina högsta nivåer efter puberteten och minskar därefter progressivt med åldern och blir ej påvisbara vid menopaus.^{7,8} AMH-nivåer i serum har visat sig vara relativt stabila under menstruationscykeln, där betydande fluktuationer har observerats hos yngre kvinnor.^{9,10,11} AMH-nivåer visar dessutom lägre intra- och intercyklisk variation än grundnivån av FSH.¹⁰ AMH-nivåer i serum minskar avsevärt vid användning av preventivmedel av kombinationstyp.¹² Kliniska applikationer för AMH-analyser har föreslagits för ett flertal indikationer.^{13,14,15} Mätning av AMH i serum används kliniskt i huvudsak vid bedömnning av ovarièreserven och motsvarar antalet antrala och preantrala folliklar, det så kallade antrala follikelvärdet (AFC), och förutsägelse av respons på kontrollerad oväriestimulering.^{13,15,16} Ytterligare kliniska applikationer av AMH är diagnos av könsutvecklingsstörning (DSD) hos barn^{17,18} och övervakning av granulosacelltumörer för att upptäcka kvardröjande eller återkommande

sjukdom.^{19,20} AMH har föreslagits vara en alternativ biomarkör för AFC vid diagnos av polycystiskt ovarialsyndrom (PCOS)^{21,22} och för att förutsäga tiden fram till menopaus.^{23,24}

Analysprincip

Sandwich-princip. Total analyslängd: 18 minuter.

- Inkubation 1: 30 μ l prov, en biotinyerad monoklonal AMH-specifik antikropp och en monoklonal AMH-specifik antikropp märkt med ett ruteniumkomplex^{a)} bildar ett sandwich-komplex.
- Inkubation 2: Efter tillsats av streptavidinträckta mikropartiklar binds komplexet till den fasta fasen genom bindning av biotin och streptavidin.
- Reaktionsblandningen sugs in i mätcellen där mikropartiklarna fångas upp magnetiskt på elektrodens yta. Obundna substanser tas därefter bort med ProCell II M. Applicerig av en spänning på elektroden ger sedan kemiluminiscent emission som mäts med en fotomultiplikator.
- Resultaten bestäms via en kalibreringskurva som är instrumentspecifikt genererad genom 2-punktskalibrering och en masterkurva som erhållits via **cobas link**.

a) Tris(2,2'-bipyridyl)rutenium(II)-komplex ($\text{Ru}(\text{bpy})_3^{2+}$)

Reagens – arbetslösningar

cobas e pack är märkt AMH.

M Streptavidinmärkta mikropartiklar, 1 flaska, 5.8 ml:
Streptavidinmärkta mikropartiklar 0.72 mg/ml; konserveringsmedel.

R1 Anti-AMH-Ab~biotin, 1 flaska, 7.2 ml:
Biotinyerad monoklonal anti-AMH-antikropp (mus) 1.0 mg/l; fosfatbuffert 50 mmol/l, pH 7.5; konserveringsmedel.

R2 Anti-AMH-Ab~Ru(bpy)₃²⁺, 1 flaska, 7.2 ml:
Monoklonal anti-AMH-antikropp (mus) märkt med ruteniumkomplex 1.0 mg/l; fosfatbuffert 50 mmol/l, pH 7.5; konserveringsmedel.

Försiktighetsåtgärder och varningar

För in vitro-diagnostisk användning för vårdpersonal. Läkttag de normala försiktighetsåtgärder som gäller för all hantering av laboratoriereagens.

Infektiöst eller mikrobiellt avfall:

Varning: hantera avfall som potentiellt biologiskt riskmaterial. Kassera avfall i enlighet med godkända laboratorieinstruktioner och -procedurer.

Fara för miljön:

Tillämpa alla relevanta lokala bortskaffningsbestämmelser för att säkerställa säker avnyttring.

Säkerhetsdatablad kan beställas av användare inom professionen.

Detta kit innehåller komponenter klassificerade som följer, i enlighet med Europaparlamentets och rådets förordning (EG) nr 1272/2008:

**Varning**

H317 Kan orsaka allergisk hudreaktion.

Förebyggande:

P261 Undvik att inandas damm/rök/gaser/dimma/ångor/sprej.

P272 Nedstänkta arbetskläder får inte avlägsnas från arbetsplatsen.

P280 Använd skyddshandskar.

Reaktion:

P333 + P313 Vid hudirritation eller utslag: Sök läkarhjälp.

P362 + P364 Ta av nedstänkta kläder och tvätta dem innan de används igen.

Avfallshantering:

P501 Innehållet/behållaren lämnas till en godkänd avfallsstation.

Produktsäkerhetsmärkningen följer EU GHS-riktlinjer.

Kontaktelefon, alla länder: +49-621-7590

Undvik skumbildning i alla reagens och provtyper (prover, kalibratorer och kontroller).

Reagenshantering

Reagensen i kitet har samlats ihop till en bruksfördig enhet och får inte separeras.

All information som krävs för korrekt handhavande finns tillgänglig via **cobas** link.

Förvaring och hållbarhet

Förvara vid 2–8 °C.

Frys ej.

Förvara **cobas e** pack **stående** för att säkerställa full tillgång till mikropartiklarna under den automatiska blandningen före användningen.

Hållbarhet:

| | |
|----------------------|--------------------------------|
| öppnad vid 2–8 °C | fram till angivet utgångsdatum |
| i analysinstrumenten | 16 veckor |

Provmaterial och beredning

Endast provmaterialen nedan analyserades och befanns godtagbara.

Serum och Li-heparinplasma tas med standardprovör eller rör innehållande separationsgel.

Använd inte EDTA-plasma.

Kriterium: Nivå på resultat inom $\pm 30\%$ av serumvärdet $\geq 3.57 \text{ pmol/l}$ ($\geq 0.5 \text{ ng/ml}$); nivå på resultat inom $\pm 1.43 \text{ pmol/l}$ ($\pm 0.2 \text{ ng/ml}$) av serumvärdet $< 3.57 \text{ pmol/l}$ ($< 0.5 \text{ ng/ml}$) och lutning $0.9\text{--}1.1$ + avvikelse vid 7.14 pmol/l (1 ng/ml) och 25 pmol/l (3.5 ng/ml) $\leq 10\%$ + korrelationskoefficient ≥ 0.95 .

Hållbart i 3 dagar vid 20–25 °C, 5 dagar vid 2–8 °C, 6 månader vid –20 °C ($\pm 5^\circ\text{C}$). Frys endast en gång.

De angivna provtyperna analyserades med ett urval provtagningsrör som var kommersiellt tillgängliga vid tidpunkten för analysen, dvs. alla tillgängliga rör från alla tillverkare analyserades inte. Provtagningsystem från olika tillverkare kan innehålla olikartade material som i vissa fall kan påverka analysresultaten. Följ tillverkarens instruktioner vid hantering av prover i primärör (provtagningsystem).

Centrifugera prover som innehåller fällning innan analysen utförs.

Använd inte värmeinaktiverade prover.

Använd inte prover och kontroller som stabiliseras med azid.

Säkerställ att prover och kalibratorer har uppnått 20–25 °C före mätning.

På grund av möjliga avdunstningseffekter ska prover och kalibratorer i analysinstrumentet analyseras/mätas inom 2 timmar.

Medföljer förpackningen

Se "Reagens – arbetslösningar" avsnittet för reagens.

Nödvändiga material (som ej medföljer)

- **[REF]** 09013326190, AMH CalSet, för 4 x 1.0 ml
- **[REF]** 06709966190, PreciControl AMH, för 4 x 2.0 ml
- **[REF]** 07299001190, Diluent Universal, 45.2 ml provspädning
- Allmän laboratorieutrustning
- Analysinstrumentet **cobas e**

Tillbehör för analysinstrumenten **cobas e** 402 och **cobas e** 801:

- **[REF]** 06908799190, ProCell II M, 2 x 2 l systemlösning
- **[REF]** 04880293190, CleanCell M, 2 x 2 l rengöringslösning för mätcell
- **[REF]** 07485409001, Reservoir Cup, 8 koppar för att förvara ProCell II M och CleanCell M
- **[REF]** 06908853190, PreClean II M, 2 x 2 l tvättlösning

- **[REF]** 05694302001, Assay Tip/Assay Cup tray, 6 magasin x 6 travar med magasin x 105 analysspetsar och 105 analyskoppar, 3 avfallsinsatser
- **[REF]** 07485425001, Liquid Flow Cleaning Cup, 2 adapterkoppar för att förvara ISE Cleaning Solution/Elecsys SysClean för Liquid Flow Cleaning Detection Unit
- **[REF]** 07485433001, PreWash Liquid Flow Cleaning Cup, 1 adapterkoppar för att förvara ISE Cleaning Solution/Elecsys SysClean för Liquid Flow Cleaning PreWash Unit
- **[REF]** 11298500316, ISE Cleaning Solution/Elecsys SysClean, 5 x 100 ml systemrengöringslösning

Analys

Följ anvisningarna för det aktuella analysinstrumentet som finns i detta dokument för optimalt utförande av analysen. Analysinstrumentspecifika analysinstruktioner finns i användarhandboken.

Resuspension av mikropartiklarna sker automatiskt före användning.

Placer den kylda **cobas e** pack (förvarad vid 2–8 °C) på reagent manager. Undvik skumbildning. Systemet reglerar automatiskt temperaturen på reagensen och öppnande/stängning av **cobas e** pack.

Kalibrering

Spårbarhet: Denna metod har standardiseras mot Beckman Coulter AMH Gen II ELISA-analys (ej modifierad version utan förspädning).

Den fördefinierade masterkurvan är anpassad till analysinstrumentet med CalSet.

Kalibreringsfrekvens: Kalibrering måste utföras en gång per reagenslot med nytt reagens (dvs. inte senare än 24 timmar efter det att **cobas e** pack registrerades i analysinstrumentet).

Kalibreringsintervall kan utökas baserat på av laboratoriet godtagbar verifiering av kalibrering.

Ny kalibrering rekommenderas enligt följande:

- efter 12 veckor vid användning av samma reagenslot
- efter 28 dagar vid användning av samma **cobas e** pack i analysinstrumentet
- vid behov, t.ex. när kvalitetskontrollnivån är utanför angivna gränser

Kvalitetskontroll

Vid kvalitetskontroll används PreciControl AMH.

Därutöver kan annat lämpligt kontrollmaterial användas.

Kontroller för de olika koncentrationsintervallen ska körs individuellt minst en gång per dygn när analysen körs, en gång per **cobas e** pack och efter varje kalibrering.

Kontrollintervallen och -gränserna ska anpassas till varje laboratoriums egna krav. De erhållna värdena ska hamna inom angivna gränser. Varje laboratorium bör fastställa åtgärder som ska vidtas om värdena hamnar utanför de angivna gränserna.

Vid behov ska mätning av proverna göras om.

Följ gällande statliga regler och lokala riktlinjer vid kvalitetskontroll.

Beräkning

Analysinstrumentet räknar automatiskt ut analytkoncentrationen för varje prov (antingen i ng/ml eller pmol/l).

Omräkningsfaktorer: $\text{pmol/l} \times 0.14 = \text{ng/ml}$
 $\text{ng/ml} \times 7.14 = \text{pmol/l}$

Interferenser

Effekten för analysprestanda hos följande endogena substanser och läkemedelssubstanser analyserades. Interferenser analyserades upp till angivna koncentrationer och ingen påverkan på resultaten observerades.

Endogena substanser

| Substans | Analyseras koncentration |
|------------|--|
| Bilirubin | $\leq 1129 \mu\text{mol/l}$ eller $\leq 66 \text{ mg/dl}$ |
| Hemoglobin | $\leq 0.62 \text{ mmol/l}$ eller $\leq 1000 \text{ mg/dl}$ |
| Intralipid | $\leq 1000 \text{ mg/dl}$ |
| Biotin | $\leq 4912 \text{ nmol/l}$ eller $\leq 1200 \text{ ng/ml}$ |

| Substans | Analyserad koncentration |
|----------|--------------------------|
| IgG | ≤ 2.5 g/dl |
| IgA | ≤ 1.8 g/dl |
| IgM | ≤ 0.5 g/dl |

Kriterium: Avvikelse ≤ 10 %.

Ingen interferens observerades från reumatoida faktorer vid en koncentration på upp till 1000 IU/ml.

Ingen högdos-”hook”-effekt föreligger vid AMH-koncentrationer på upp till 9996 pmol/l (1400 ng/ml).

Läkemedelssubstanter

In vitro-analysen genomfördes på 20 vanligen använda läkemedel. Ingen interferens med analysen upptäcktes upp till koncentrationerna som anges i tabellen nedan.

| Aktivt preparat | Analyserad koncentration mg/l |
|-------------------|----------------------------------|
| Acetylcystein | 1660 |
| Ampicillin-Na | 1000 |
| Askorbinsyra | 300 |
| Ciklosporin | 5 |
| Cefoxitin | 2500 |
| Heparin | 5000 U |
| Levodopa | 20 |
| Metylldopa | 20 |
| Metronidazol | 200 |
| Fenylbutazon | 400 |
| Doxycyklin | 50 |
| Acetilsalicylsyra | 1000 |
| Rifampicin | 60 |
| Acetaminofen | 200 |
| Ibuprofen | 500 |
| Teofyllin | 100 |
| Triptorelinacetat | 0.1 |
| Metformin | 2000 |
| Folsyra | 0.4 |
| Levotyroxin | 0.2 |

I sällsynta fall kan interferens beroende på extremt hög titer av antikroppar mot analyt-specifika antikroppar, streptavidin och rutenium förekomma.

Dessa effekter minimeras genom lämplig testdesign.

Vid diagnostisk användning ska resultaten alltid bedömas tillsammans med patientens anamnes, kliniska undersökningar och andra resultat.

Begränsningar och intervall

Mätintervall

0.07–164 pmol/l (0.01–23 ng/ml) (definierat av detektionsgränsen och högsta värdet på masterkurvan). Värden under detektionsgränsen rapporteras som < 0.07 pmol/l (< 0.01 ng/ml). Värden över mätintervallet rapporteras som > 164 pmol/l (> 23 ng/ml) eller upp till 328 pmol/l (46 ng/ml) för 2-faldigt späddade prover.

Nedre mätgräns

Blankgräns, detektionsgräns och kvantifieringsgräns

Blankgräns = 0.049 pmol/l (0.007 ng/ml)

Detektionsgräns = 0.07 pmol/l (0.01 ng/ml)

Kvantifieringsgräns = 0.214 pmol/l (0.030 ng/ml)

Blankgränsen, detektionsgränsen och kvantifieringsgränsen bestämdes i enlighet med krav från CLSI (Clinical and Laboratory Standards Institute) EP17-A2.

Blankgränsen är det 95:e percentilvärdet från $n \geq 60$ mätningar av analytfria prover över flera oberoende serier. Blankgränsen motsvarar koncentrationen nedan vilka analytfria prover som påvisas med en sannolikhet på 95 %.

Detektionsgränsen bestäms baserat på blankgränsen och standardavvikelsen hos prover som har en låg koncentration.

Detektionsgränsen motsvarar den lägsta analytkoncentrationen som kan påvisas (värde över blankgränsen med en sannolikhet på 95 %).

Kvantifieringsgränsen är den lägsta analytkoncentrationen som kan mäts reproducerbart med en variationskoefficient för den intermediära precisionen på ≤ 20 %.

Spädning

Prover med AMH-koncentrationer över mätintervallet kan spädas med Diluent Universal. Den rekommenderade spädningen är 1:2 (antingen automatiskt med analysinstrumentet eller manuellt). Koncentrationen för det spädda provet måste vara > 71.4 pmol/l (> 10 ng/ml).

Multiplicera resultatet med spädningsfaktorn efter manuell spädning.

Efter spädning i analysinstrumenten tar programvaran automatiskt hänsyn till spädningen vid uträkning av provkoncentrationen.

Referensvärden

En studie av en kaukasisk population med Elecsys AMH-analysen på prover från till synes friska vuxna (148 män, 887 kvinnor som inte använder hormonella preventivmedel) samt 149 kvinnor med polycystiskt ovariesyndrom gav följande resultat (Roche-studie nr RD001727):

| | N | 2.5:e perc. ng/ml (95 % CI ^{b)} | 5:e perc. ng/ml (95 % CI) | Median ng/ml (95 % CI) | 95:e perc. ng/ml (95 % CI) | 97.5:e perc. ng/ml (95 % CI) |
|----------------------------|-----|---|---------------------------------|------------------------------|-------------------------------------|---------------------------------------|
| Friska män | | | | | | |
| | 148 | 0.77 (0.17–1.58) | 1.43 (0.256–1.97) | 4.79 (4.35–5.35) | 11.6 (10.3–17.0) | 14.5 (10.9–17.6) |
| Friska kvinnor (år) | | | | | | |
| • 20–24 | 150 | 1.22 (0.478–1.67) | 1.52 (0.758–1.81) | 4.00 (3.60–4.44) | 9.95 (7.87–13.6) | 11.7 (9.11–15.7) |
| • 25–29 | 150 | 0.890 (0.493–1.21) | 1.20 (0.797–1.75) | 3.31 (3.00–3.89) | 9.05 (7.59–10.3) | 9.85 (8.91–11.3) |
| • 30–34 | 138 | 0.576 (0.256–0.958) | 0.711 (0.256–1.12) | 2.81 (2.35–3.47) | 7.59 (6.84–9.52) | 8.13 (7.27–9.72) |
| • 35–39 | 138 | 0.147 (0.053–0.474) | 0.405 (0.053–0.496) | 2.00 (1.73–2.36) | 6.96 (5.31–9.37) | 7.49 (6.49–10.9) |
| • 40–44 | 142 | 0.027 (0.010–0.063) | 0.059 (0.017–0.119) | 0.882 (0.726–1.13) | 4.44 (2.94–5.56) | 5.47 (3.92–6.76) |
| • 45–50 | 169 | 0.010 (0.010–0.010) | 0.010 (0.010–0.010) | 0.194 (0.144–0.269) | 1.79 (1.43–2.99) | 2.71 (1.79–4.16) |
| Kvinnor med PCOS* | | | | | | |
| | 149 | 1.86 (1.54–2.50) | 2.41 (1.67–3.01) | 6.81 (6.30–7.42) | 17.1 (13.3–20.3) | 18.9 (16.0–21.1) |

b) CI = konfidensintervall

| | N | 2.5:e perc. pmol/l (95 % CI) | 5:e perc. pmol/l (95 % CI) | Median pmol/l (95 % CI) | 95:e perc. pmol/l (95 % CI) | 97.5:e perc. pmol/l (95 % CI) |
|----------------------------|-----|---------------------------------------|----------------------------------|-------------------------------|--------------------------------------|--|
| Friska män | | | | | | |
| | 148 | 5.5 (1.2–11.3) | 10.2 (1.8–14.1) | 34.2 (31.1–38.2) | 82.8 (73.5–121) | 103 (78.1–125) |
| Friska kvinnor (år) | | | | | | |
| • 20–24 | 150 | 8.71 (3.41–11.9) | 10.9 (5.41–12.9) | 28.6 (25.7–31.7) | 71.0 (56.2–97.1) | 83.6 (65.0–112) |
| • 25–29 | 150 | 6.35 (3.52–8.64) | 8.57 (5.69–12.5) | 23.6 (21.4–27.8) | 64.6 (54.2–73.5) | 70.3 (63.6–81.0) |
| • 30–34 | 138 | 4.11 (1.83–6.84) | 5.08 (1.83–8.00) | 20.0 (16.8–24.8) | 54.2 (48.8–68.0) | 58.0 (51.9–69.4) |
| • 35–39 | 138 | 1.05 (0.378–3.38) | 2.89 (0.378–3.54) | 14.2 (12.4–16.9) | 49.7 (37.9–66.9) | 53.5 (46.3–77.9) |
| • 40–44 | 142 | 0.193 (0.071–0.450) | 0.421 (0.121–0.850) | 6.29 (5.18–8.07) | 31.7 (21.0–39.7) | 39.1 (28.0–48.3) |
| • 45–50 | 169 | 0.071 (0.071–0.071) | 0.071 (0.071–0.071) | 1.39 (1.03–1.92) | 12.8 (10.2–21.3) | 19.3 (12.8–29.7) |
| Kvinnor med PCOS* | | | | | | |
| | 149 | 13.3 (11.0–17.8) | 17.2 (11.9–21.5) | 48.6 (45.0–53.0) | 122 (95.0–145) | 135 (114–151) |

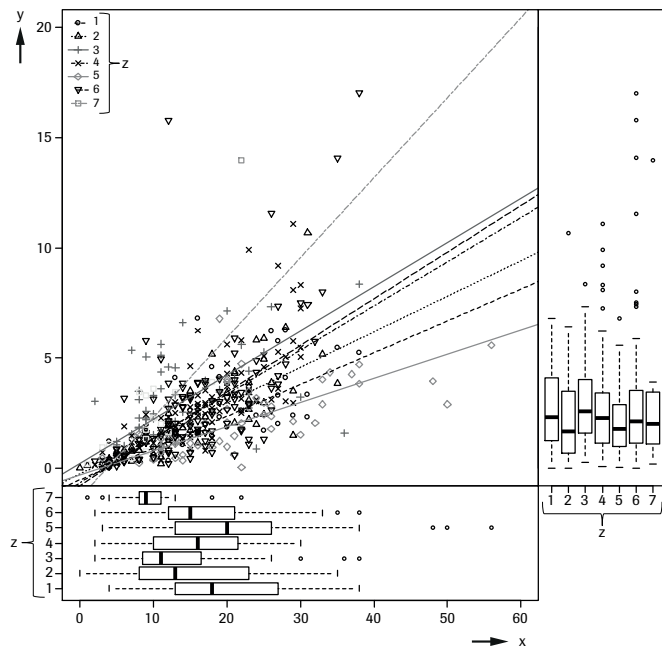
* Enligt de reviderade diagnostiska kriterierna för PCOS som definierats av Rotterdam ESHRE/ASRM-sponsrade (ESHRE = European Society of Human Reproduction and Embryology; ASRM = American Society of Reproductive Medicine) PCOS consensus workshop group.²⁵

Varje laboratorium bör undersöka överföringsmöjligheten av referensvärdet till sin egen patientpopulation och, om så behövs, fastställa sina egna intervall.

Användning av AMH vid bedömning av ovariereserven

Användningen av AMH vid bedömningen av ovariereserven undersöktes i en prospektiv studie med n = 451 kvinnor i åldern 18–44 år, där AMH-värden korrelerades till det antala follikelvärdet (AFC) för kvinnorna (Roche-studie nr RD001542). AFC bestämdes genom transvaginal sonografi som mätte folliklar i storleken 2–10 mm i diameter. Såväl AFC som AMH bestämdes under dag 2–4 i samma menencykel. Mellan 17 och 115 kvinnor rekryterades per plats vid 6 olika europeiska platser och 1 australisk plats.

Inga signifika skillnader i genomsnittliga AMH-värden observerades mellan platserna (pval = 0.301). De genomsnittliga åldersvärdena för platserna skilde sig åt markant, och även AMH och ålder upptäcktes en signifikant negativ korrelation (Spearmans korrelationskoefficient –0.47). Den åldersjämka platseffekten för AMH upptäcktes ingen signifikans (pval = 0.193). De fastställda AFC-värdena upptäcktes signifikanta skillnader mellan platserna, såväl med som utan åldersjämknings. Den totala korrelationen för AMH med AFC var 0.68 (Spearmans rankningskoefficient). Bilden nedan visar en sambandskurva för AMH jämfört med AFC, samt den platsspecifika AMH- och AFC-distributionen.



x: AFC (N)

y₁: AMH (ng/ml)

y₂: AMH (pmol/l)

z: Labb

Samstämmighetstabell med absoluta AFC-nummer på 7 och 15

Tre AFC-grupper definierades^{26,27} baserat på två cutoff för AFC: 7 och 15 (0–7, 8–15, > 15). Enligt prevalens inom dessa grupper (15 %, 37 %, 48 %), beräknades kvantiler på AMH ($c_1 = 4.86 \text{ pmol/l}$ eller 0.681 ng/ml , $c_2 = 16.2 \text{ pmol/l}$ eller 2.27 ng/ml) för att definiera tre grupper.

Överensstämmelse visas i absoluta siffror och procentenheter per AMH-grupp.

Med den stora variationen av AFC-resultat beroende på plats- och sonografispecifika variationer, bör varje plats granska samstämmighetstabellen för att se om det finns överförbarhet till de egna specifika förutsättningarna.

| | AFC 0–7 | AFC 8–15 | AFC > 15 | N |
|---|----------------|----------------|-----------------|-----|
| AMH ≤ 4.86 pmol/l (0.681 ng/ml) | 43 (63.2 %) | 22 (32.4 %) | 3 (4.4 %) | 68 |
| 4.86 pmol/l (0.681 ng/ml) < AMH ≤ 16.2 pmol/l (2.27 ng/ml) | 20 (12.0 %) | 95 (56.9 %) | 52 (31.1 %) | 167 |
| AMH > 16.2 pmol/l (2.27 ng/ml) | 3 (1.4 %) | 52 (24.1 %) | 161 (74.5 %) | 216 |
| N | 66 | 169 | 216 | 451 |

För en patient med $\text{AMH} \leq 4.86 \text{ pmol/l}$ (0.681 ng/ml) är sannolikheten att ha ett lågt AFC (0–7) 63 %, sannolikheten att vara i den mittersta AFC-gruppen (8–15) är cirka 32 % och endast 4.4 % för ett AFC > 15.

Sannolikheten för patienter med höga AMH-värden (> 16.2 pmol/l; 2.27 ng/ml) att ha ett AFC > 15 är 75 %, sannolikheten att vara i den mittersta AFC-gruppen (8–15) är 24 % och endast 1.4 % för ett AFC < 8.

Användning av AMH för prediktion av hyperrespons på kontrollerad ovariestimulering

Följande resultat erhölls i en extern studie "Clinical evaluation of the Elecsys AMH assay for the prediction of response to controlled ovarian stimulation" (Roche-studie nr CIM RD 001695).

AMH bestämdes hos 149 kvinnor som genomgick en antagonistbehandling under den första cykeln av kontrollerad ovariestimulering för in-vitro-fertilisering (IVF). Kvinnor som ingick i studien var i åldern < 44 år, hade en

regelbunden menstruationscykel och inga större avvikelse vid transvaginal sonografi. Kvinnor med PCOS, endokrina eller metaboliska avvikelse och kvinnor som genomgick IVF med äggdonation ingick ej. Alla kvinnor erhöll en FSH-stimulerande standarddos på 150 IU/dag. Blod togs före start av FSH-stimulering för post hoc-analys av AMH efter att behandlingscykeln avslutats. Hyperrespons observerades hos 16 kvinnor. Hyperrespons definierades när > 15 äggceller erhölls eller återkallande av stimuleringscykeln, där fler än 20 folliklar > 12 mm observerades och östradiolvärden > 11700 pmol/l, eller när fler än 30 folliklar > 12 mm observerades. Den kliniska prestandan för Elecsys AMH att förutsäga hyperrespons på kontrollerad ovariestimulering utvärderades genom ROC-analys (receiver operating characteristic) och genom att använda en cutoff på 15 pmol/l (2.1 ng/ml), vilket tidigare har publicerats.^{28,29} Förutsägelse av hyperrespons var betydande med en AUC (area under the curve) på 82.1 % (CI 72.5–91.7 %). Sensitivitet, specificitet, positivt prediktivt värde (PPV) och negativt prediktivt värde (NPV) för AMH-cutoffen på 15.0 pmol/l (2.1 ng/ml) visas i tabellen nedan.

| Hyperrespons | | |
|--------------|--------------------------|-------------|
| AMH-cutoff | 15.0 pmol/l (2.10 ng/ml) | |
| | Beräkning | 95 % CI |
| Sensitivitet | 81.3 % | 54.4–96.0 % |
| Specificitet | 64.7 % | 55.9–72.8 % |
| PPV | 21.7 % | 12.1–34.2 % |
| NPV | 96.6 % | 90.5–99.3 % |

Särskilda prestandadata

Representativa prestandadata som bestämts på analysinstrumenten anges nedan. Resultat som erhållits i individuella laboratorier kan variera.

Precision

Precision bestämdes med Elecsys-reagens, prover och kontroller i ett protokoll (EP05-A3) från CLSI (Clinical and Laboratory Standards Institute); 2 köringar per dag i duplikat, vardera i 21 dagar ($n = 84$). Följande resultat erhölls:

| Analysinstrumenten cobas e 402 och cobas e 801 | | | | | |
|--|-------------------|---------------|------|-----------------------|------|
| | | Repeterbarhet | | Intermediär precision | |
| Prov | Medelvärde pmol/l | SD pmol/l | CV % | SD pmol/l | CV % |
| Humanserum 1 | 0.355 | 0.00744 | 2.1 | 0.0136 | 3.8 |
| Humanserum 2 | 6.43 | 0.0935 | 1.5 | 0.179 | 2.8 |
| Humanserum 3 | 33.1 | 0.511 | 1.5 | 1.19 | 3.6 |
| Humanserum 4 | 96.7 | 1.39 | 1.4 | 3.58 | 3.7 |
| Humanserum 5 | 153 | 2.89 | 1.9 | 4.90 | 3.2 |
| PreciControl AMH 1 | 7.41 | 0.0945 | 1.3 | 0.210 | 2.8 |
| PreciControl AMH 2 | 36.7 | 0.297 | 0.8 | 1.05 | 2.9 |

| Analysinstrumenten cobas e 402 och cobas e 801 | | | | | |
|--|------------------|---------------|------|-----------------------|------|
| | | Repeterbarhet | | Intermediär precision | |
| Prov | Medelvärde ng/ml | SD ng/ml | CV % | SD ng/ml | CV % |
| Humanserum 1 | 0.0497 | 0.00104 | 2.1 | 0.00190 | 3.8 |
| Humanserum 2 | 0.901 | 0.0131 | 1.5 | 0.0251 | 2.8 |
| Humanserum 3 | 4.64 | 0.0715 | 1.5 | 0.167 | 3.6 |
| Humanserum 4 | 13.5 | 0.194 | 1.4 | 0.501 | 3.7 |
| Humanserum 5 | 21.4 | 0.405 | 1.9 | 0.686 | 3.2 |
| PreciControl AMH 1 | 1.04 | 0.0132 | 1.3 | 0.0294 | 2.8 |
| PreciControl AMH 2 | 5.14 | 0.0415 | 0.8 | 0.147 | 2.9 |

Metodjämförelse

a) En jämförelse mellan Elecsys AMH-analysen, [REF] 08819378190 (analysinstrumentet cobas e 801; y) och Elecsys AMH-analysen, [REF] 07026714190 (analysinstrumentet cobas e 801; x) gav följande korrelationer (ng/ml):

Antal uppmätta prover: 198

$$\text{Passing/Bablok}^{30}$$

| | |
|---------------------|-------------------|
| y = 0.956x + 0.0139 | Linjär regression |
| y = 0.959x + 0.0180 | |
| T = 0.980 | r = 0.999 |

Provkoncentrationerna låg mellan 0.135 och 22.2 ng/ml.

b) En jämförelse mellan Elecsys AMH-analysen, [REF] 08819378190 (analysinstrumentet cobas e 801; y) och Elecsys AMH-analysen, [REF] 07026714190 (analysinstrumentet cobas e 801; x) gav följande korrelationer (pmol/l):

Antal uppmätta prover: 198

$$\text{Passing/Bablok}^{30}$$

| | |
|---------------------|-------------------|
| y = 0.956x + 0.0990 | Linjär regression |
| y = 0.959x + 0.128 | |
| T = 0.980 | r = 0.999 |

Provkoncentrationerna låg mellan 0.961 och 159 pmol/l.

c) En jämförelse mellan Elecsys AMH-analysen, [REF] 08819378190 (analysinstrumentet cobas e 801; y) och Elecsys AMH-analysen, [REF] 08819319190 (analysinstrumentet cobas e 601; x) gav följande korrelationer (ng/ml):

Antal uppmätta prover: 198

$$\text{Passing/Bablok}^{30}$$

| | |
|---------------------|-------------------|
| y = 0.968x + 0.0854 | Linjär regression |
| y = 0.958x + 0.133 | |
| T = 0.974 | r = 0.999 |

Provkoncentrationerna låg mellan 0.125 och 21.5 ng/ml.

d) En jämförelse mellan Elecsys AMH-analysen, [REF] 08819378190 (analysinstrumentet cobas e 801; y) och Elecsys AMH-analysen, [REF] 08819319190 (analysinstrumentet cobas e 601; x) gav följande korrelationer (pmol/l):

Antal uppmätta prover: 198

$$\text{Passing/Bablok}^{30}$$

| | |
|--------------------|-------------------|
| y = 0.968x + 0.610 | Linjär regression |
| y = 0.958x + 0.947 | |
| T = 0.974 | r = 0.999 |

Provkoncentrationerna låg mellan 0.895 och 154 pmol/l.

e) En jämförelse mellan Elecsys AMH-analysen, [REF] 08819378190 (analysinstrumentet cobas e 402; y) och Elecsys AMH-analysen, [REF] 08819378190 (analysinstrumentet cobas e 801; x) gav följande korrelationer (ng/ml):

Antal uppmätta prover: 200

$$\text{Passing/Bablok}^{30}$$

| | |
|-------------------|-------------------|
| y = 1.00x – 0.079 | Linjär regression |
| y = 1.01x – 0.113 | |
| T = 0.977 | r = 0.999 |

Provkoncentrationerna låg mellan 0.132 och 21.6 ng/ml.

f) En jämförelse mellan Elecsys AMH-analysen, [REF] 08819378190 (analysinstrumentet cobas e 402; y) och Elecsys AMH-analysen, [REF] 08819378190 (analysinstrumentet cobas e 801; x) gav följande korrelationer (pmol/l):

Antal uppmätta prover: 200

$$\text{Passing/Bablok}^{30}$$

| | |
|-------------------|-------------------|
| y = 1.00x – 0.562 | Linjär regression |
| y = 1.01x – 0.804 | |
| T = 0.977 | r = 0.999 |

Provkoncentrationerna låg mellan 0.944 och 154 pmol/l.

Analytisk specifitet

De monoklonala antikroppar som användes är högt specifika mot human AMH. Följande korsreaktivitet påvisades:

| Korsreaktant | Analyserad koncentration | Korsreaktivitet % |
|--------------|--------------------------|---------------------|
| Inhibin A | 100 ng/ml | n. d. ^{c)} |
| Aktivin A | 100 ng/ml | n. d. |
| LH | 500 mIU/ml | n. d. |
| FSH | 500 mIU/ml | n. d. |

c) n. d. = not detectable (ej spårbart)

Referenser

- 1 Wilson CA, di Clemente N, Ehrenfels C, et al. Mullerian inhibiting substance requires its N-terminal domain for maintenance of biological activity, a novel finding within the transforming growth factor-beta superfamily. *Mol Endocrinol* 1993;7(2):247-257.
- 2 di Clemente N, Jamin SP, Lugovskoy A, et al. Processing of anti-mullerian hormone regulates receptor activation by a mechanism distinct from TGF-beta. *Mol Endocrinol* 2010;24(11):2193-206.
- 3 Grinspon RP, Rey RA. Anti-müllerian hormone and sertoli cell function in paediatric male hypogonadism. *Horm Res Paediatr* 2010;73(2):81-92.
- 4 Broekmans FJ, Visser JA, Laven JS, et al. Anti-Müllerian hormone and ovarian dysfunction. *Trends Endocrinol Metab* 2008;19(9):340-347.
- 5 Visser JA, de Jong FH, Laven JS, et al. Anti-Müllerian hormone: a new marker for ovarian function. *Reproduction* 2006;131(1):1-9.
- 6 Visser JA, Schipper I, Laven JS, et al. Anti-Müllerian hormone: an ovarian reserve marker in primary ovarian insufficiency. *Nat Rev Endocrinol* 2012;8(6):331-341.
- 7 Kelsey TW, Anderson RA, Wright P, et al. Data-driven assessment of the human ovarian reserve. *Mol Hum Reprod* 2012;18(2):79-87.
- 8 Nelson SM, Iliodromiti S, Fleming R, et al. Reference range for the antimüllerian hormone Generation II assay: a population study of 10,984 women, with comparison to the established Diagnostics Systems Laboratory nomogram. *Fertil Steril* 2014;101(2):523-529.
- 9 Tsepelidis S, Devreker F, Demeestere I, et al. Stable serum levels of anti-Müllerian hormone during the menstrual cycle: a prospective study in normo-ovulatory women. *Hum Reprod* 2007;22:1837-1840.
- 10 van Disseldorp J, Lambalk CB, Kwee J, et al. Comparison of inter- and intra-cycle variability of anti-Müllerian hormone and antral follicle counts. *Hum Reprod* 2010;25(1):221-227.
- 11 Overbeek A, Broekmans FJ, Hegenkamp WJ, et al. Intra-cycle fluctuations of anti-Müllerian hormone in normal women with a regular cycle: a re-analysis. *Reprod Biomed Online* 2012;24(6):664-669.
- 12 Kallio S, Puurunen J, Ruokonen A, et al. Antimüllerian hormone levels decrease in women using combined contraception independently of administration route. *Fertil Steril* 2013;99(5):1305-1310.
- 13 Nelson SM. Biomarkers of ovarian response: current and future applications. *Fertil Steril* 2013;99(4):963-969.
- 14 Anderson RA, Wallace WH. Antimüllerian hormone, the assessment of the ovarian reserve, and the reproductive outcome of the young patient with cancer. *Fertil Steril* 2013;99(6):1469-1475.
- 15 Dewailly D, Andersen CY, Balen A, et al. The physiology and clinical utility of anti-Müllerian hormone in women. *Hum Reprod Update* 2014;20(3):370-385.
- 16 La Marca A, Sunkara SK. Individualization of controlled ovarian stimulation in IVF using ovarian reserve markers: from theory to practice. *Hum Reprod Update* 2014;20(1):124-140.
- 17 Josso N, Rey R, Picard JY. Testicular anti-Müllerian hormone: clinical applications in DSD. *Semin Reprod Med* 2012;30(5):364-373.
- 18 Rey RA, Grinspon RP, Gottlieb S, et al. Male hypogonadism: an extended classification based on a developmental, endocrine physiology-based approach. *Andrology* 2013;1(1):3-16.
- 19 La Marca A, Volpe A. The Anti-Müllerian hormone and ovarian cancer. *Hum Reprod Update* 2007;13(3):265-273.
- 20 Geerts I, Vergote I, Neven P, et al. The role of inhibins B and antimüllerian hormone for diagnosis and follow-up of granulosa cell tumors. *Int J Gynecol Cancer* 2009;19(5):847-855.
- 21 Dewailly D, Gronier H, Poncelet E, et al. Diagnosis of polycystic ovary syndrome (PCOS): revisiting the threshold values of follicle count on ultrasound and of the serum AMH level for the definition of polycystic ovaries. *Hum Reprod* 2011;26(11):3123-3129.
- 22 Iliodromiti S, Kelsey TW, Anderson RA, et al. Can anti-Müllerian hormone predict the diagnosis of polycystic ovary syndrome? A systematic review and meta-analysis of extracted data. *J Clin Endocrinol Metab* 2013;98(8):3332-3340.
- 23 Tehrani FR, Solaymani-Dodaran M, Tohidi M, et al. Modeling age at menopause using serum concentration of anti-müllerian hormone. *J Clin Endocrinol Metab* 2013;98(2):729-735.
- 24 Dölleman M, Depmann M, Eijkemans MJ, et al. Anti-Müllerian hormone is a more accurate predictor of individual time to menopause than mother's age at menopause. *Hum Reprod* 2014;29(3):584-591.
- 25 Rotterdam ESHRE/ASRM-Sponsored PCOS consensus workshop group. Revised 2003 consensus on diagnostic criteria and long-term health risks related to polycystic ovary syndrome (PCOS). *Hum Reprod* 2004;19(1):41-47.
- 26 Ferraretti AP, La Marca A, Fauser BC, et al. ESHRE working group on Poor Ovarian Response Definition. ESHRE consensus on the definition of 'poor response' to ovarian stimulation for in vitro fertilization: the Bologna criteria. *Hum Reprod* 2011;26(7):1616-1624.
- 27 van Tilborg TC, Eijkemans MJ, Laven JS, et al. The OPTIMIST study: optimisation of cost effectiveness through individualised FSH stimulation dosages for IVF treatment. A randomised controlled trial. *BMC Womens Health* 2012;12:29.
- 28 Nelson SM, Yates RW, Fleming R. Serum anti-Müllerian hormone and FSH: prediction of live birth and extremes of response in stimulated cycles--implications for individualization of therapy. *Hum Reprod* 2007;22(9):2414-21.
- 29 Arce JC, Andersen AN, Fernández-Sánchez M, et al. Ovarian response to recombinant human follicle-stimulating hormone: a randomized, antimüllerian hormone-stratified, dose-response trial in women undergoing in vitro fertilization/intracytoplasmic sperm injection. *Fertil Steril* 2014;102(6):1633-40.e5.
- 30 Bablok W, Passing H, Bender R, et al. A general regression procedure for method transformation. Application of linear regression procedures for method comparison studies in clinical chemistry, Part III. *J Clin Chem Clin Biochem* 1988 Nov;26(11):783-790.

Mer information finns i användarhandboken för det aktuella analysinstrumentet, i respektive applikationsark samt i produktinformationen och metodbladen för alla nödvändiga komponenter (om de är tillgängliga i ditt land).

I detta metodblad används alltid punkt som decimalavgränsare för att markera gränsen mellan hela tal och decimaler i ett decimaltal. Tusentalsavgränsare används inte.

Allvarliga incidenter som har inträffat med produkten ska rapporteras till tillverkaren och till berörd myndighet i det land där användaren och/eller patienten uppehåller sig.

Symboler

Roche Diagnostics använder följande symboler och tecken utöver de som anges i ISO 15223-1-standarden (för USA: se dialog.roche.com för definition av symboler som används):

| | |
|-------------------|--|
| CONTENT | Innehåll i förpackning |
| SYSTEM | Analysinstrument på vilka reagensen kan användas |
| REAGENT | Reagens |
| CALIBRATOR | Kalibrator |
| | Volym för rekonstituering |
| GTIN | Globalt artikelnummer |

08819378500V4.0

Elecsys AMH

cobas[®]

Tillägg, borttagningar eller ändringar anges med ett ändringsstreck i marginalen.
© 2021, Roche Diagnostics

CE 0123



Roche Diagnostics GmbH, Sandhofer Strasse 116, D-68305 Mannheim
www.roche.com

+800 5505 6606

